

УДК 548.0:535.2+535.212

## БЕЗДИСПЕРСИОННЫЕ ПОВЕРХНОСТНЫЕ ПОЛЯРИТОНЫ НА ГРАНИЦАХ КРУЧЕНИЯ КРИСТАЛЛОВ И В ПЕРЕХОДНОМ СЛОЕ МЕЖДУ НИМИ

© 2005 г. А. Н. Фурс, В. М. Галынский, Л. М. Барковский

*Белорусский государственный университет, 220080 Минск, Белоруссия*

Поступила в редакцию 25.06.2004 г.

Исследованы бездисперсионные поверхностные поляритоны на границах кручения прозрачных одноосных кристаллов. Дан вывод точных выражений для центральных углов секторов распространения поверхностных поляритонов при произвольных степенях анизотропии кристаллов  $\epsilon_{\parallel}/\epsilon_{\perp} - 1$ . Установлен характер трансформации секторов распространения при учете переходного изотропного слоя между кристаллами.

### ВВЕДЕНИЕ

Бездисперсионные (сингулярные) поверхностные поляритоны представляют собой особый тип пограничных электромагнитных волн, распространяющихся вдоль поверхностей раздела материалов с различной симметрией. Такие поверхностные электромагнитные волны (ПЭВ) теоретически предсказаны в работах [1, 2] для границ раздела положительных одноосных кристаллов и изотропных сред. В отличие от поверхностных поляритонов на границах сильно диспергирующих изотропных сред с отрицательными диэлектрическими проницаемостями [3] сингулярные ПЭВ могут быть возбуждены в слабо диспергирующих анизотропных, гиротропных и бианизотропных средах [4, 5]. Возможные направления распространения поверхностных поляритонов образуют секторы в плоскости раздела, причем расположение этих секторов и их ширина (величина центрального угла) определяются ориентацией кристаллографических осей пограничных материалов по отношению к плоскостям среза и степенью анизотропии материалов. Важно, что секторы разрешенных направлений распространения можно динамически перестраивать в электро- и магнитооптических средах при изменении внешних управляющих электрических и магнитных полей [6]. Учет анизотропии и бианизотропии материалов значительно усложняет математический аппарат теории поверхностных поляритонов. Поэтому вывод дисперсионных уравнений, а также условий существования ПЭВ удобно проводить с помощью трехмерно-ковариантного формализма тензоров поверхностных импедансов и их интегрального представления [5, 7–9].

Наиболее ярко определяющая роль оптической анизотропии проявляется в случае бездисперсионных поверхностных возбуждений на границе,

образованной разными срезами одного и того же кристалла. В работах [10, 11] рассмотрены поверхностные поляритоны на границах кручения прозрачных положительных одноосных кристаллов. Такие границы образуются, если разрезать одноосный кристалл плоскостью, проходящей через оптическую ось, и развернуть половины кристалла относительно друг друга, так что их оси оказываются скрещенными в плоскости раздела. В частности, в [10] был получен закон дисперсии поляритонов, представляемый системой алгебраических уравнений, и аналитически исследованы предельные случаи слабой и сильной анизотропии одноосного кристалла. Для этих случаев найдены приближенные выражения для ширин секторов распространения поверхностных поляритонов. В настоящей работе с использованием тензоров поверхностных импедансов проводится более детальный (по сравнению с [10, 11]) анализ проблемы бездисперсионных ПЭВ на границах кручения прозрачных одноосных кристаллов. С помощью прямых тензорных методов, изложенных в [12, 13], здесь получены точные выражения для ширин секторов распространения поверхностных поляритонов, справедливые для любых степеней анизотропии  $\eta = \epsilon_{\parallel}/\epsilon_{\perp} - 1$  положительных одноосных кристаллов. Хотя в подавляющем большинстве естественные кристаллы в видимом диапазоне частот слабоанизотропны, с помощью современных технологий возможно создание сильно анизотропных материалов (композитных, мезоскопических и др. [14–16]) со значениями  $\eta$  порядка 10.

В работе также рассмотрено влияние переходного изотропного слоя на свойства бездисперсионных ПЭВ в одноосных кристаллах со скрещенными оптическими осями. Проблеме переходных слоев и их влиянию на отражение и преломление света посвящено большое количество публика-

ций (см. [17, 18] и цитируемую там литературу). Известно, что учет переходного слоя для поверхностных поляритонов в резонансных средах с отрицательными диэлектрическими проницаемостями приводит к ряду новых эффектов, например расщеплению дисперсионной кривой [3]. В то же время проблема влияния переходного слоя на свойства бездисперсионных поверхностных поляритонов мало изучена. Здесь выводится дисперсионное уравнение для поляритонов в изотропном слое между скрещенными кристаллами и находятся его численные решения. Показывается, что наличие переходного слоя приводит к трансформации секторов возможных направлений распространения ПЭВ, а при определенных условиях – к невозможности возбуждения поверхностных волн ни в одном из направлений в плоскости раздела.

### СЕКТОРЫ РАСПРОСТРАНЕНИЯ ПОВЕРХНОСТНЫХ ПОЛЯРИТОНОВ НА ГРАНИЦЕ КРУЧЕНИЯ ОДНООСНОГО КРИСТАЛЛА

Исследуем распространение поверхностных электромагнитных волн на плоской границе раздела, образованной разными срезами одного и того же немагнитного одноосного кристалла, причем оптические оси  $\mathbf{c}$ ,  $\mathbf{c}'$  кристалла, лежащие по обе стороны границы, параллельны ей и образуют угол  $\phi$  между собой ( $0 \leq \phi \leq \pi/2$ , рис. 1). Начало отсчета декартовой системы координат расположим в плоскости раздела, а ось  $z$  выберем параллельной единичному вектору нормали  $\mathbf{q}$  к этой плоскости. Тогда кристалл в области  $z < 0$  характеризуется обратным тензором диэлектрической проницаемости

$$\epsilon^{-1} = a + (b - a)\mathbf{c} \otimes \mathbf{c}, \quad \mathbf{c}^2 = 1,$$

где  $a = 1/\epsilon_{\perp}$ ,  $b = 1/\epsilon_{\parallel}$ , а кристалл в области  $z > 0$  – тензором

$$\epsilon'^{-1} = a + (b - a)\mathbf{c}' \otimes \mathbf{c}', \quad \mathbf{c}'^2 = 1.$$

Зависимость напряженностей магнитного и электрического полей ПЭВ от радиуса-вектора  $\mathbf{r}$  точки наблюдения и времени  $t$  в полупространстве  $z < 0$  имеет вид

$$\mathbf{H}(\mathbf{r}, t) = \sum_{s=1}^2 C_s \mathbf{H}_s^0 \exp[ik(\mathbf{b} + \eta_s \mathbf{q})\mathbf{r} - i\omega t],$$

$$\mathbf{E}(\mathbf{r}, t) = \sum_{s=1}^2 C_s \mathbf{E}_s^0 \exp[ik(\mathbf{b} + \eta_s \mathbf{q})\mathbf{r} - i\omega t],$$

где  $\mathbf{H}_s^0$ ,  $\mathbf{E}_s^0$  – амплитуды парциальных волн на границе раздела,  $C_s$  – весовые коэффициенты,  $\eta_s$  – комплексные коэффициенты затухания

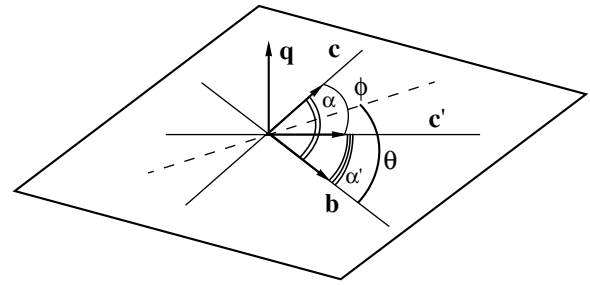


Рис. 1. Расположение оптических осей в плоскости раздела (пояснения в тексте).

( $\text{Im} \eta_s < 0$ ),  $\mathbf{b}$  – единичный вектор, определяющий направление распространения волны вдоль границы раздела,  $k$  – проекция волнового вектора на направление  $\mathbf{b}$ . Условимся обозначать штрихами величины, относящиеся к кристаллу в полупространстве  $z > 0$ . Тогда напряженности полей  $\mathbf{H}'(\mathbf{r}, t)$ ,  $\mathbf{E}'(\mathbf{r}, t)$  при  $z > 0$  также описываются аналогичными зависимостями от  $\mathbf{r}$  и  $t$  с заменой величин  $\mathbf{H}_s^0$ ,  $\mathbf{E}_s^0$ ,  $C_s$ ,  $\eta_s$ ,  $\mathbf{m}_s$  на штрихованные, а условие убывания амплитуды волны при удалении от границы раздела имеет вид  $\text{Im} \eta'_s > 0$ . Коэффициенты  $\eta_s$  находятся из уравнения нормалей  $|\mathbf{m}^x \epsilon^{-1}(\omega) \mathbf{m}^x + 1| = 0$  при подстановке в него комплексного вектора рефракции  $\mathbf{m}$  [12, 13] в виде  $\mathbf{m}_s = ck(\mathbf{b} + \eta_s \mathbf{q})/\omega$ , а коэффициенты  $\eta'_s$  – из аналогичного уравнения, включающего тензор  $\epsilon'$ .

Граничные условия для тангенциальных составляющих электрического и магнитного полей имеют вид

$$\mathbf{H}_\tau^0 = \sum_{s=1}^2 C_s \mathbf{H}_{s\tau}^0 = \sum_{s=1}^2 C'_s \mathbf{H}'_{s\tau}{}^0 = \mathbf{H}_\tau^0, \tag{1}$$

$$[\mathbf{qE}^0] = \sum_{s=1}^2 C_s [\mathbf{qE}_s^0] = \sum_{s=1}^2 C'_s [\mathbf{qE}'_s{}^0] = [\mathbf{qE}'^0].$$

Вводя тензоры поверхностных импедансов  $\gamma$  и  $\gamma'$ , которые связывают между собой тангенциальные составляющие электрического и магнитного полей на границе раздела сред [19]

$$[\mathbf{qE}^0] = \gamma \mathbf{H}_\tau^0, \quad [\mathbf{qE}'^0] = \gamma' \mathbf{H}'_{\tau}{}^0, \tag{2}$$

и исключая из (1) и (2) векторы  $\mathbf{H}_\tau^0$ ,  $[\mathbf{qE}^0]$ ,  $[\mathbf{qE}'^0]$ , находим

$$(\gamma - \gamma') \mathbf{H}_\tau^0 = 0. \tag{3}$$

Уравнение (3) имеет ненулевые решения  $\mathbf{H}_\tau^0$ , если след тензора, взаимного к  $\gamma - \gamma'$ , равен нулю [12, 13]:

$$(\overline{\gamma - \gamma'})_t = 0. \tag{4}$$

Уравнение (4) является дисперсионным уравнением для поверхностных электромагнитных волн.

Вид тензоров  $\gamma$ ,  $\gamma'$  определяется кристаллографической симметрией граничащих кристаллов, а также взаимным расположением векторов  $\mathbf{b}$ ,  $\mathbf{q}$ ,  $\mathbf{a} = [\mathbf{bq}]$  и главных осей тензоров  $\epsilon(\omega)$ ,  $\epsilon'(\omega)$ . Для оптически одноосных кристаллов при условии, что  $\mathbf{qc} = \mathbf{qc}' = 0$ , тензоры  $\gamma$ ,  $\gamma'$  имеют вид [20]

$$\begin{aligned} \gamma = & \frac{i}{\sqrt{a(d-v^2)} + \sqrt{b(a-v^2)}} \times \\ & \times \left[ v \left( d \sqrt{\frac{a-v^2}{d-v^2}} + \sqrt{ab} \right) \mathbf{b} \otimes \mathbf{b} + \right. \\ & \left. + v(b-a) \sin \alpha \cos \alpha \sqrt{\frac{a-v^2}{d-v^2}} (\mathbf{b} \otimes \mathbf{a} + \mathbf{a} \otimes \mathbf{b}) - \right. \end{aligned} \quad (5)$$

$$\begin{aligned} & - \frac{1}{v} \left( (a-v^2) \sqrt{ab} + \right. \\ & \left. + [ab - v^2(a+b-d)] \sqrt{\frac{a-v^2}{d-v^2}} \right) \mathbf{a} \otimes \mathbf{a} \left. \right], \end{aligned}$$

$$\begin{aligned} \gamma' = & - \frac{i}{\sqrt{a(d'-v^2)} + \sqrt{b(a-v^2)}} \times \\ & \times \left[ v \left( d' \sqrt{\frac{a-v^2}{d'-v^2}} + \sqrt{ab} \right) \mathbf{b} \otimes \mathbf{b} + \right. \\ & \left. + v(b-a) \sin \alpha' \cos \alpha' \sqrt{\frac{a-v^2}{d'-v^2}} (\mathbf{b} \otimes \mathbf{a} + \mathbf{a} \otimes \mathbf{b}) - \right. \end{aligned} \quad (6)$$

$$\begin{aligned} & - \frac{1}{v} \left( (a-v^2) \sqrt{ab} + \right. \\ & \left. + [ab - v^2(a+b-d')] \sqrt{\frac{a-v^2}{d'-v^2}} \right) \mathbf{a} \otimes \mathbf{a} \left. \right], \end{aligned}$$

где

$d = a \cos^2 \alpha + b \sin^2 \alpha$ ,  $d' = a \cos^2 \alpha' + b \sin^2 \alpha'$ ,  
 $\alpha$  и  $\alpha' = \alpha - \phi$  – углы в плоскости границы между векторами  $\mathbf{b}$  и  $\mathbf{c}$ ,  $\mathbf{b}$  и  $\mathbf{c}'$  соответственно (рис. 1),  
 $v = \omega/(ck)$  – безразмерная частота (фазовая скорость ПЭВ в единицах скорости света  $c$  в вакууме). Подставляя (5), (6) в (4), получаем дисперсионное уравнение

$$F(v) = 0, \quad (7)$$

$$\begin{aligned} F(v) = & - \sqrt{ab} \sqrt{\frac{a-v^2}{d-v^2}} - \sqrt{ab} \sqrt{\frac{a-v^2}{d'-v^2}} - \frac{1}{[\sqrt{a(d-v^2)} + \sqrt{b(a-v^2)}][\sqrt{a(d'-v^2)} + \sqrt{b(a-v^2)}]} \times \\ & \times \left\{ \left( d \sqrt{\frac{a-v^2}{d-v^2}} + \sqrt{ab} \right) \left[ (a-v^2) \sqrt{ab} + [ab - v^2(a+b-d')] \sqrt{\frac{a-v^2}{d'-v^2}} \right] + \right. \\ & \left. + \left( d' \sqrt{\frac{a-v^2}{d'-v^2}} + \sqrt{ab} \right) \left[ (a-v^2) \sqrt{ab} + [ab - v^2(a+b-d)] \sqrt{\frac{a-v^2}{d-v^2}} \right] + \right. \\ & \left. + 2v^2(a-b)^2 \sqrt{\frac{a-v^2}{d-v^2}} \sqrt{\frac{a-v^2}{d'-v^2}} \sin \alpha \cos \alpha \sin \alpha' \cos \alpha' \right\}. \end{aligned} \quad (8)$$

При заданных  $a$ ,  $b$ ,  $\phi$ ,  $\alpha$  решение  $v = v_S$  уравнения (7) описывает поверхностную волну, распространяющуюся вдоль  $\mathbf{b}$ , только в том случае, если коэффициенты  $\eta_s$ ,  $\eta'_s$  – комплексные, т.е. если энергия электромагнитного поля волны локализована вблизи границы раздела в обоих кристаллах. Это означает, что безразмерная фазовая ско-

рость волны должна быть меньше некоторого предельного значения [8],

$$0 \leq v_S < v_L.$$

Для отрицательных кристаллов ( $a < b$ )  $v_L = \sqrt{a}$ , а для положительных ( $a > b$ ) –  $v_L = \min(\sqrt{d}, \sqrt{d'})$ . Отсутствие решений уравнения (7) в интервале

$[0, v_L)$  (субсветовом интервале [8]) означает, что поверхностная волна не может распространяться вдоль направления  $\mathbf{b}$ .

Можно показать, что функция  $F(v)$  (8) монотонно зависит от  $v$ . При  $v = 0$  она отрицательна, а для отрицательных кристаллов при  $v = v_L = \sqrt{a}$  равна нулю. Следовательно, поверхностные возбуждения невозможны на границе раздела, образованной срезами отрицательного кристалла. Поэтому далее рассматриваются волны на границе раздела положительных кристаллов ( $a > b$ ).

Если волна может распространяться в некотором направлении  $\mathbf{b}$ , то она распространяется и в противоположном направлении  $-\mathbf{b}$ , поскольку функция  $F(v)$  не изменяется при замене  $\alpha \rightarrow \pi + \alpha$ ,  $\alpha' \rightarrow \pi + \alpha'$ . Кроме того, она инвариантна при замене  $\alpha \rightarrow -\alpha$ ,  $\alpha' \rightarrow -\alpha'$ . Таким образом, множество направлений  $\mathbf{b}$ , вдоль которых возможно распространение поверхностных волн, зеркально симметрично при отражениях в плоскости раздела относительно биссектрисы угла, образованного векторами  $\mathbf{c}$  и  $\mathbf{c}'$ , и при отражениях относительно перпендикуляра к этой биссектрисе. По этой причине достаточно рассматривать только направления  $\mathbf{b}$ , определяемые углами  $\alpha \in [\phi/2, \pi/2 + \phi/2]$ . В этом случае  $d < d'$  и  $v_L = \sqrt{d}$ .

Хотя функция  $F(v)$ , входящая в уравнение (7), сложным образом зависит от  $v$ , тем не менее нетрудно установить область существования решений дисперсионного уравнения. Так как  $F(v)$  монотонна и при  $v = 0$  отрицательна, то эта область определяется условием

$$\lim_{v \rightarrow v_L = \sqrt{d}} F(v) > 0. \tag{9}$$

Можно выделить общий коэффициент при расходящейся как  $(d - v^2)^{-1/2}$  части функции  $F(v)$ . Требуя, чтобы он был положительным, получаем

$$\begin{aligned} & -2b\sqrt{ab}\sin\alpha\sqrt{\sin^2\alpha - \sin^2\alpha'} - \\ & - 2ab(\sin^2\alpha - \sin^2\alpha') + \\ & + d(a - b)(\sin^2\alpha - \sin^2\alpha')^2 + \\ & + d(a - b)(\sin\alpha\cos\alpha - \sin\alpha'\cos\alpha')^2 > 0. \end{aligned}$$

Далее удобно ввести угол  $\theta$  между вектором  $\mathbf{b}$  направления распространения волны и биссектрисой угла, образованного векторами  $\mathbf{c}$  и  $\mathbf{c}'$  (рис. 1). Тогда  $\alpha = \theta + \phi/2$ ,  $\alpha' = \theta - \phi/2$ , и условие (9) принимает вид

$$A(x) > 0, \tag{10}$$

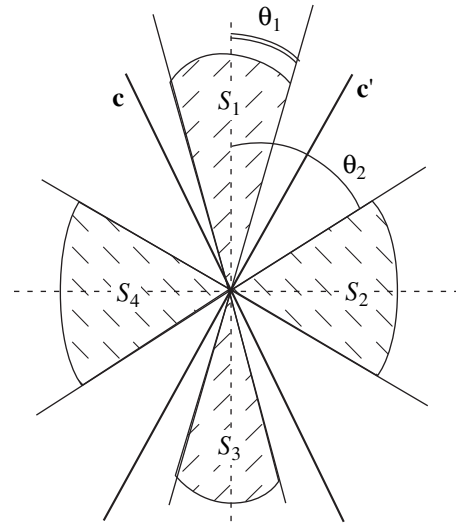


Рис. 2. Секторы разрешенных направлений распространения  $\mathbf{b}$  поверхностных поляритонов.

где

$$\begin{aligned} A(x) = & \eta \left( 1 + \eta \sin^2 \frac{\phi}{2} \right) \left( \sin \frac{\phi}{2} \cos \frac{\phi}{2} \right)^{3/2} x^2 - \\ & - \sqrt{1 + \eta} \cos \frac{\phi}{2} x^{3/2} - \\ & - 2 \left( 1 + \eta \sin^2 \frac{\phi}{2} \right) \left( 1 + \eta \cos^2 \frac{\phi}{2} \right) \sqrt{\sin \frac{\phi}{2} \cos \frac{\phi}{2}} x - \\ & - \sqrt{1 + \eta} \sin \frac{\phi}{2} x^{1/2} + \eta \left( 1 + \eta \cos^2 \frac{\phi}{2} \right) \left( \sin \frac{\phi}{2} \cos \frac{\phi}{2} \right)^{3/2}. \end{aligned} \tag{11}$$

В (11)  $x = \text{tg } \theta$ , а  $\eta = a/b - 1 = \epsilon_{\parallel}(\omega)/\epsilon_{\perp}(\omega) - 1$  — степень анизотропии одноосного кристалла. Таким образом, условие (10) определяет углы  $\theta$ , отвечающие направлениям  $\mathbf{b}$ , вдоль которых возможно распространение поверхностных электромагнитных волн. Эти направления образуют в плоскости раздела четыре сектора  $S_1, S_2, S_3, S_4$  (рис. 2). Положение секторов характеризуется углами  $\theta_1 = \text{arctg } x_1$  и  $\theta_2 = \text{arctg } x_2$  ( $0 < \theta_1 < \theta_2 < \pi/2$ ), где  $x_1, x_2$  — положительные корни уравнения  $A(x) = 0$ . Очевидно, что ширина секторов  $S_1$  и  $S_3$  равна  $2\theta_1$ , а секторов  $S_2$  и  $S_4$  составляет  $\pi - 2\theta_2$ .

На рис. 3 показана зависимость граничных углов  $\theta_1$  и  $\theta_2$  от степени анизотропии  $\eta$  при фиксированных углах скрещивания  $\phi$ . Видно, что ширина секторов  $S_1, \dots, S_4$  оказывается тем больше, тем выше степень анизотропии кристалла — ситуация, типичная для бездисперсионных ПЭВ на границе раздела анизотропных материалов.

Для слабо и сильно анизотропных кристаллов с помощью уравнения  $A(x) = 0$  можно получить простые приближенные выражения для  $\theta_1$  и  $\theta_2$ .

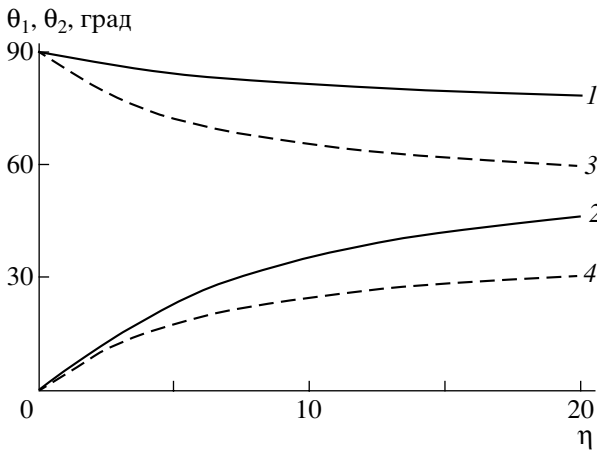


Рис. 3. Зависимость граничных углов  $\theta_1, \theta_2$  ( $\theta_2 > \theta_1$ ) от параметра анизотропии  $\eta$ : 1, 2 – для  $\phi = \pi/4$ ; 3, 4 – для  $\phi = \pi/2$ .

Например, для слабо анизотропного материала ( $\eta \ll 1$ ) угол  $\theta_1$  мал, и  $x = \operatorname{tg} \theta_1 \approx \theta_1$ . Введем переменную  $y$  так, что  $x = \eta^2 y$ . Оставляя в выражении для  $A(x)$  (11) члены, линейные по  $\eta$ , находим, что  $y = \sin(\phi/2) \cos^3(\phi/2)$  и

$$\theta_1 \approx \eta^2 \sin \frac{\phi}{2} \cos^3 \frac{\phi}{2}. \quad (12)$$

Аналогично

$$\theta_2 \approx \frac{\pi}{2} - \eta^2 \sin^3 \frac{\phi}{2} \cos \frac{\phi}{2}. \quad (13)$$

Ширина секторов  $S_1, \dots, S_4$  оказывается пропорциональной  $\eta^2$ . Для сильно анизотропных материалов ( $\eta \gg 1$ ) имеем

$$\theta_{1,2} = \frac{\pi}{2} - \frac{\phi}{2} \pm \frac{1}{\sqrt{\eta}}. \quad (14)$$

Приближенные формулы (12)–(14) были впервые получены в работе [10].

Если направление  $\mathbf{b}$  совпадает с биссектрисой угла, образованного  $\mathbf{c}$  и  $\mathbf{c}'$ , или перпендикулярно ей, то поверхностная волна может распространяться при любых углах скрещивания  $\phi$  ( $0 < \phi \leq \pi/2$ ), причем ее поляризация линейна [11]. Действительно, в этом случае  $\theta = n\pi/2$ ,  $n = 0, 1, 2, 3$ , и неравенство (10) выполняется при любых  $a$  и  $b$  таких, что  $a > b$ .

Оценим погрешность приближенных формул (12) и (13) и установим область их применимости. Не теряя общности, оценку погрешности проведем для  $\theta_1$ , считая, что угол скрещивания  $\phi$  изменяется от 0 до  $\pi$ . Пусть  $x_1 \approx \theta_1$  (12) – приближенное решение уравнения  $A(x) = 0$ , а  $\tilde{x}$  – точное реше-

ние. Разложим  $A(\tilde{x})$  в ряд Тейлора вблизи точки  $x = x_1$ :

$$A(\tilde{x}) = 0 = A(x_1) + \left. \frac{dA}{dx} \right|_{x=x_1} (\tilde{x} - x_1) + \dots$$

Тогда абсолютная  $\Delta$  и относительная  $\delta$  погрешности вычисления  $\theta_1$  по формуле (12)

$$\Delta = \tilde{x} - x_1 = -A(x_1) / \left. \frac{dA}{dx} \right|_{x=x_1},$$

$$\delta = \frac{\tilde{x} - x_1}{x_1} = -\frac{1}{x_1} A(x_1) / \left. \frac{dA}{dx} \right|_{x=x_1}.$$

Принимая во внимание (11), получаем

$$A(x_1) = -\eta^2 \left( \sin \frac{\phi}{2} \cos \frac{\phi}{2} \right)^{3/2} \left( \frac{1}{2} + \cos^2 \frac{\phi}{2} \right) + O(\eta^3),$$

$$\left. \frac{dA}{dx} \right|_{x=x_1} = -\frac{\sqrt{\sin \phi/2}}{2\eta \cos^{3/2} \phi} + O(1).$$

Таким образом, относительная погрешность оказывается пропорциональной  $\eta$ ,

$$\delta = -\eta(1 + 2\cos^2 \phi/2),$$

и достигает максимального по модулю значения  $-3\eta$  при  $\phi = 0$ . Ограничивая  $|\delta|$  значением 0.1, заключаем, что приближенные выражения (12) и (13) допустимо использовать для степеней анизотропии  $0 \leq \eta < 0.03$ , а при больших  $\eta$  для расчета  $\theta_1, \theta_2$  и ширин секторов  $S_1, \dots, S_4$  следует использовать точные соотношения (10) и (11).

### БЕЗДИСПЕРСИОННЫЕ ПОЛЯРИТОНЫ В ПЕРЕХОДНОМ ИЗОТРОПНОМ СЛОЕ МЕЖДУ СКРЕЩЕННЫМИ ОДНООСНЫМИ КРИСТАЛЛАМИ

При выводе дисперсионного уравнения (7) предполагалось, что срезы одноосного кристалла образуют резкую границу. В действительности диэлектрические свойства приповерхностной области кристалла отличаются от диэлектрических свойств участков кристалла, удаленных от границы раздела, что приводит к возникновению около границы раздела переходного слоя. Наличие переходного слоя меняет спектр поверхностных возбуждений, и это является дополнительным источником информации о физических свойствах приповерхностных областей кристаллов [3].

Исследуем, какое влияние оказывает переходный слой на свойства бездисперсионных поверхностных поляритонов на границах кручения положительных одноосных кристаллов. Будем считать, что этот слой изотропный с диэлектрической проницаемостью  $\epsilon_s$ , его толщина  $l$  и он расположен в области  $0 < z < l$ . Одноосные кристаллы с единич-

ными векторами  $\mathbf{c}$  и  $\mathbf{c}'$  оптических осей, параллельными границам раздела, расположены в областях  $z < 0$  и  $z > l$  соответственно.

Для вывода дисперсионного уравнения воспользуемся связью тангенциальных компонент магнитного и электрического полей на границах раздела  $z = 0$  и  $z = l$  с помощью характеристической матрицы (пропагатора) слоя  $\mathbb{P}$ :

$$\begin{pmatrix} \mathbf{H}_\tau^0 \\ [\mathbf{qE}^0] \end{pmatrix} = \mathbb{P} \begin{pmatrix} \mathbf{H}_\tau^l \\ [\mathbf{qE}^l] \end{pmatrix}, \quad \mathbb{P} = \begin{pmatrix} P_{11} & P_{12} \\ P_{21} & P_{22} \end{pmatrix}. \quad (15)$$

Элементы  $P_{11}, P_{12}, P_{21}, P_{22}$   $6 \times 6$ -матрицы  $\mathbb{P}$  – трехмерные планальные тензоры. Для изотропного слоя они имеют вид [20]

$$\begin{aligned} P_{11} &= P_{22} = \text{ch}\left(\frac{2\pi L}{v} \sqrt{1-v^2\epsilon_s}\right) I, \\ P_{12} &= i \text{sh}\left(\frac{2\pi L}{v} \sqrt{1-v^2\epsilon_s}\right) \times \\ &\times \left( \frac{\epsilon_s v}{\sqrt{1-v^2\epsilon_s}} \mathbf{a} \otimes \mathbf{a} - \frac{\sqrt{1-v^2\epsilon_s}}{v} \mathbf{b} \otimes \mathbf{b} \right), \\ P_{21} &= i \text{sh}\left(\frac{2\pi L}{v} \sqrt{1-v^2\epsilon_s}\right) \times \\ &\times \left( -\frac{\sqrt{1-v^2\epsilon_s}}{\epsilon_s v} \mathbf{a} \otimes \mathbf{a} + \frac{v}{\sqrt{1-v^2\epsilon_s}} \mathbf{b} \otimes \mathbf{b} \right), \end{aligned} \quad (16)$$

где  $L = l/\lambda = vkl/2\pi$  – толщина слоя в длинах волн в вакууме,  $I = 1 - \mathbf{q} \otimes \mathbf{q} = \mathbf{b} \otimes \mathbf{b} + \mathbf{a} \otimes \mathbf{a}$  – проективный оператор на плоскости раздела. Умножая обе части равенства (15) слева на  $3 \times 6$ -матрицу  $(\gamma' - I)$  и учитывая второе из соотношений (2), находим связь тангенциальных составляющих электрического и магнитного полей на границе  $z = 0$ :

$$[\mathbf{qE}^0] = (\gamma' P_{12} - P_{22})^-(P_{21} - \gamma' P_{11}) \mathbf{H}_\tau^0, \quad (17)$$

где знак  $-$  обозначает псевдообращение тензора (обращение в двумерном пространстве, ортогональном  $\mathbf{q}$ ). Тензорный коэффициент в (17)

$$\gamma_{\text{ef}} = (\gamma' P_{12} - P_{22})^-(P_{21} - \gamma' P_{11}) \quad (18)$$

представляет собой эффективный тензор поверхностных импедансов кристалла  $z > l$  и переходного слоя. Принимая во внимание (17) и первое из соотношений (2), получаем дисперсионное уравнение для ПЭВ, локализованных на границе раздела  $z = 0$ ,

$$(\overline{\gamma_{\text{ef}} - \gamma})_t = 0, \quad (19)$$

в котором по сравнению с (4)  $\gamma'$  заменяется на  $\gamma_{\text{ef}}$ . В явном виде дисперсионное уравнение получается при подстановке в (19) выражений (18), (16), (5), (6) и ввиду громоздкости здесь не приводится.

В предельном случае отсутствия переходного слоя ( $L = 0$ ) элементы матрицы  $\mathbb{P}$  равны  $P_{11} = P_{22} = I, P_{12} = P_{21} = 0$ , тензор  $\gamma_{\text{ef}}$  совпадает с  $\gamma'$ , а уравнение (18) переходит в (4).

Можно показать, что в другом предельном случае  $L \rightarrow \infty$  тензор  $\gamma_{\text{ef}}$  становится равным тензору поверхностных импедансов изотропной среды с диэлектрической проницаемостью  $\epsilon_s$ ,

$$\gamma_s = -\frac{iv}{\sqrt{1-\epsilon_s v^2}} \mathbf{b} \otimes \mathbf{b} + \frac{i\sqrt{1-\epsilon_s v^2}}{\epsilon_s v} \mathbf{a} \otimes \mathbf{a}.$$

Это означает, что при рассмотрении возбуждений на границе  $z = 0$  полями на другой границе можно пренебречь, и мы переходим к задаче распространения бездисперсионных ПЭВ на границе одноосного кристалла и изотропной среды, исследованной в [2] (см. также [8, 9]). В этом случае необходимым условием существования поверхностных волн является [2]

$$\epsilon_{\parallel} > \epsilon_s > \epsilon_{\perp}, \quad (20)$$

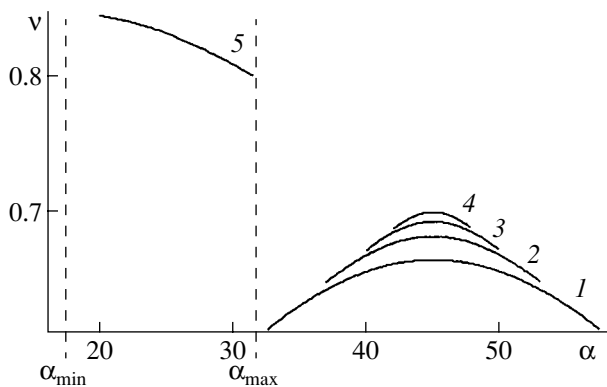
а возможные направления распространения поверхностных волн определяются углами  $\alpha$ , принадлежащими интегралам  $(\alpha_{\min}, \alpha_{\max}), (\pi - \alpha_{\max}, \pi - \alpha_{\min}), (\pi + \alpha_{\min}, \pi + \alpha_{\max}), (2\pi - \alpha_{\max}, 2\pi - \alpha_{\min})$ , где

$$\begin{aligned} \sin^2 \alpha_{\min} &= \frac{\xi}{2} \{ 1 - \eta \xi + [(1 - \eta \xi)^2 + 4\eta]^2 \}^{1/2}, \\ \sin^2 \alpha_{\max} &= \frac{(1 + \eta)^3 \xi}{(1 + \eta)^2 (1 + \eta \xi) - \eta^2 (1 - \xi)^2} \end{aligned}$$

и  $\xi = (\epsilon_s - \epsilon_{\perp})/(\epsilon_{\parallel} - \epsilon_{\perp})$ . Секторы в плоскости раздела, соответствующие этим интервалам, обозначим  $Q_1, \dots, Q_4$ .

Ясно, что при непрерывном изменении толщины слоя  $L$  от нуля до бесконечности секторы  $S_1, \dots, S_4$  (рис. 2) должны трансформироваться в  $Q_1, \dots, Q_4$ . Нами найдены численные решения дисперсионного уравнения (19) при различных  $L$  и установлен характерный характер этой трансформации. При этом предполагалось, что условие (20) выполнено, и рассматривались следующие случаи: 1) для заданной ориентации осей кристаллов  $\mathbf{c}$  и  $\mathbf{c}'$  секторы  $S_1$  (или  $S_2$ ) и  $Q_1$  не перекрываются, 2) сектор  $Q_1$  лежит внутри одного из секторов  $S_1, S_2$ , 3) секторы  $Q_1$  и  $S_1$  (или  $S_2$ ) перекрываются частично.

В случае 1 при увеличении толщины слоя  $L$  ширина секторов  $S_1, \dots, S_4$  уменьшается, и при некотором значении  $L_1$  эти секторы исчезают вовсе. Имеется целый интервал значений  $(L_1, L_2)$ , для которых дисперсионное уравнение не имеет решений, и поверхностные возбуждения невозможны (рис. 4). При дальнейшем увеличении  $L$  ( $L > L_2$ ) в плоскости раздела вновь появляются секторы направлений, вдоль которых возможно распростра-



**Рис. 4.** Решения дисперсионного уравнения (20) для случая неперекрывающихся секторов  $S_1$  ( $S_2$ ) и  $Q_1$  ( $a = 0.8$ ,  $b = 0.2$ ,  $a' = 0.71$ ). 1 –  $L = 0$ , 2 – 0.05, 3 – 0.1, 4 – 0.15, 5 – 14.

нение поверхностных волн, ширина этих секторов увеличивается, и в пределе  $L \rightarrow \infty$  они переходят в  $Q_1, \dots, Q_4$ . Отметим, что при  $L > L_2$  амплитуда электромагнитного поля по обе стороны границы  $z = 0$  экспоненциально убывает с ростом  $|z|$ , а в одноосном кристалле ( $z > l$ ) волна является объемной.

В случае 2 дисперсионное уравнение имеет решения при любых толщинах переходного изотропного слоя  $L$ . Например, можно выбрать угол скрещивания осей  $\phi$  так, что

$$\phi = \alpha_{\min} + \alpha_{\max}.$$

Тогда средняя линия сектора  $Q_1$  совпадет с биссектрисой угла, образованного оптическими осями  $\mathbf{c}$  и  $\mathbf{c}'$ . С увеличением толщины  $L$  слоя ширины секторов разрешенных направлений распространения вначале уменьшаются, а затем увеличиваются, в результате секторы  $S_1, \dots, S_4$  непрерывным образом трансформируются в  $Q_1, \dots, Q_4$ .

В случае 3 в зависимости от степени перекрытия секторов трансформация секторов  $S_1, \dots, S_4$  в  $Q_1, \dots, Q_4$  происходит либо подобно случаю 1, либо подобно случаю 2.

Наконец, диэлектрическая проницаемость слоя  $\epsilon_s$  может быть выбрана так, что условие (20) не выполняется. В этом случае с увеличением  $L$  ширина секторов  $S_1, \dots, S_4$  уменьшается, и при толщинах слоя, превышающих некоторое предельное значение, дисперсионное уравнение не имеет решений.

## ЗАКЛЮЧЕНИЕ

Из анализа дисперсионного уравнения (7) для поверхностных поляритонов на резкой границе, образованной разными срезами одного и того же положительного одноосного кристалла, следует, что возможные направления их распространения

лежат в секторах, средние линии которых совпадают с биссектрисой угла между оптическими осями  $\mathbf{c}$  и  $\mathbf{c}'$  и с перпендикуляром к ней. В работе получены точные выражения, позволяющие определить ширины этих секторов для любых значений степени анизотропии  $\eta = \epsilon_{\parallel}/\epsilon_{\perp} - 1$  кристаллов. Для слабо анизотропных и сильно анизотропных кристаллов эти выражения совпадают с ранее полученными в работе [10] приближенными выражениями.

Получено дисперсионное уравнение для ПЭВ в структуре одноосный кристалл–изотропный переходный слой–одноосный кристалл при условии, что оптические оси кристаллов лежат в плоскостях раздела сред, и найдены его численные решения. Установлено, что при отсутствии перекрытия секторов  $S_1, \dots, S_4$  и  $Q_1, \dots, Q_4$  для переходных слоев с толщинами порядка нескольких длин волн возбуждение поверхностных поляритонов невозможно ни в одном из направлений вдоль плоскостей раздела.

## СПИСОК ЛИТЕРАТУРЫ

1. Марчевский Ф.Н., Стрижевский В.Л., Стрижевский С.В. // ФТТ. 1984. Т. 26. № 5. С. 1501.
2. Дьяконов М.И. // ЖЭТФ. 1988. Т. 94. № 4. С. 119.
3. Поверхностные поляритоны / Под ред. Аграновича В.М., Миллса Д.Л. М.: Наука, 1985.
4. Фурс А.Н., Барковский Л.М. // Сб. трудов 2-й Международной конф. молодых ученых и специалистов "Оптика-2001". СПб., 2001. С. 33.
5. Galynsky V.M., Furs A.N., Barkovsky L.M. // J. Phys. A. 2004. V. 37. № 18. P. 5083.
6. Фурс А.Н., Барковский Л.М. // ЖТФ. 2003. Т. 73. В. 4. С. 9.
7. Furs A.N., Barkovsky L.M. // Microwave and Opt. Technol. Lett. 1997. V. 14. P. 301.
8. Furs A.N., Barkovsky L.M. // J. Opt. A. 1999. V. 1. P. 109.
9. Гальнский В.М., Фурс А.Н. // Вестник БГУ. Сер. 1. 2003. № 3. С. 3.
10. Аверкиев Н.С., Дьяконов М.И. // Опт. и спектр. 1990. Т. 68. В. 5. С. 1118.
11. Даринский А.Н. // Кристаллография. 2001. Т. 46. № 5. С. 916.
12. Федоров Ф.И. Оптика анизотропных сред. М.: Едиториал УРСС, 2004.
13. Федоров Ф.И. Теория гиротропии. Мн.: Наука и техника, 1976.
14. Gleiter H. // Acta Materialia. 2000. V. 48. № 1. P. 1.
15. Hirth J.P. // Acta Materialia. 2000. V. 48. № 1. P. 93.
16. Setter N., Waser R. // Acta Materialia. 2000. V. 48. № 1. P. 151.
17. Розенберг Г.В. Оптика тонкослойных покрытий. М., 1958.
18. Кизель В.А. Отражение света. М.: Наука, 1973.
19. Barkovsky L.M., Borzdov G.N., Lavrinenko A.V. // J. Phys. A. 1987. V. 20. № 5. P. 1095.
20. Фурс А.Н., Барковский Л.М. // Кристаллография. 2001. Т. 46. № 6. С. 1102.